

7 – Séries de Fourier

7.1 – Introdução à Análise de Fourier	3
7.2 – Série trigonométrica de Fourier para sinais contínuos	5
7.3 – Teorema de Fourier	6
■ Exemplo 7.1	7
7.4 – Uma interpretação da Série de Fourier	13
7.5 – Série exponencial de Fourier para sinais contínuos	17
■ Exemplo 7.2	19
7.6 – Equivalência das séries trigonométrica e exponencial de Fourier	21
7.7 – Propriedades da Série de Fourier para sinais contínuos	23
■ Linearidade	23
■ Translação no tempo (“ <i>time shifting</i> ”)	24
■ Sinal refletido / reversão no tempo (“ <i>time reversal</i> ”)	25
■ Escalonamento no tempo (“ <i>time scaling</i> ”)	26
■ Multiplicação	27
■ Conjugação	27
■ Translação na frequência (“ <i>frequency shifting</i> ”)	28
■ Convolução no período	29
■ Derivada	30
■ Integral	30
■ Relação de Parseval	31
7.8 – Série trigonometria de Fourier para sinais discretos	31
■ Exemplo 7.3	34
■ Exemplo 7.4	40

■ Exemplo 7.5	43
■ Exemplo 7.6	44
■ Exemplo 7.7	46
7.9 – Propriedades da Série de Fourier para sinais discretos	47
■ Linearidade	47
■ Translação no tempo (“ <i>time shifting</i> ”)	48
■ Sinal refletido / reversão no tempo (“ <i>time reversal</i> ”)	49
■ Escalonamento no tempo (“ <i>time scaling</i> ”)	49
■ Multiplicação	50
■ Conjugação	51
■ Translação na frequência (“ <i>frequency shifting</i> ”)	52
■ Convolução no período	53
■ Primeira diferença	53
■ Soma acumulada	54
■ Relação de Parseval	55

Séries de Fourier

7.1 – Introdução à Análise de Fourier

Neste capítulo e no próximo estudaremos a *Análise de Fourier* (também chamada de *Análise Harmônica*), que diz respeito à representação de sinais como uma *soma* (ou melhor dizendo, uma *combinação linear*) de sinais básicos como senos e co-senos, ou exponenciais complexas.

A série de Fourier, assim como a transformada de Fourier, são as importantes contribuições do matemático francês *Jean Baptiste Joseph **Fourier*** (1768-1830).



Fig. 7.1 – *Jean Baptiste Joseph **Fourier*** (1768-1830), francês.

A *Análise de Fourier* permite decompor um sinal nas suas componentes em frequência (harmônicos) e tem muitas aplicações no Processamento de sinal, no Processamento de imagem, na Física em várias aplicações, na Probabilidade e Estatística assim como em muitas outras áreas.

Antes de Fourier três físicos já tinham feito estudos preliminares em séries infinitas para resolverem problemas diversos da Física: suíço *Leonhard Euler* (1707-1783), o francês *Jean Le Rond d'Alembert* (1717-1783) e o holandês *Daniel Bernoulli* (1700-1782).

Entretanto, *Fourier* foi o primeiro a fazer um estudo sistemático das séries infinitas para resolver a equação da propagação do calor na Física, na publicação “*Mémoire sur la théorie de la chaleur*”, embora ele não tenha expresso os seus resultados com grande formalismo.

Somente uns anos mais tarde que dois matemáticos: o alemão *Johann Peter Gustav Lejeune Dirichlet* (1805-1859) e o alemão *Georg Friedrich Bernhard Riemann* (1826-1866), expressaram os resultados de Fourier com mais rigor e precisão.

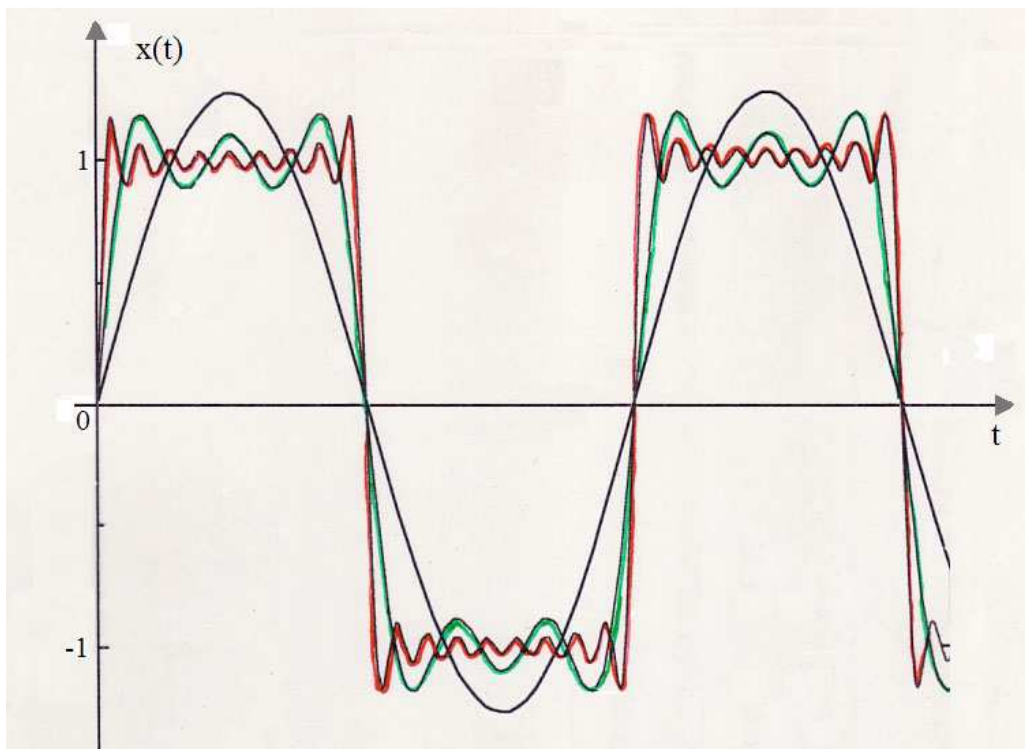


Fig. 7.2 – Série de Fourier (sinal periódico da onda quadrada).

7.2 – Série trigonométrica de Fourier para sinais contínuos

Considere um sinal periódico contínuo $x(t) \in \mathbb{R}$ {conjunto dos números reais}, $\forall t$.
O sinal $x(t)$ pode ser expresso como:

$$\begin{aligned} x(t) &= \frac{a_0}{2} + \sum_{k=1}^{\infty} \left[a_k \cdot \cos\left(\frac{2\pi}{T} \cdot k t\right) + b_k \cdot \text{sen}\left(\frac{2\pi}{T} \cdot k t\right) \right] = \\ &= \frac{a_0}{2} + \sum_{k=1}^{\infty} [a_k \cdot \cos(\omega_o k t) + b_k \cdot \text{sen}(\omega_o k t)] \end{aligned} \quad \text{eq. (7.1)}$$

onde:

T = período fundamental do sinal $x(t)$,

ω_o = frequência fundamental do sinal $x(t)$,

$$\begin{aligned} a_k &= \frac{2}{T} \int_T x(t) \cdot \cos\left(\frac{2\pi}{T} \cdot k t\right) dt = \\ &= \frac{2}{T} \int_T x(t) \cdot \cos(\omega_o k t) dt \end{aligned} \quad k = 0, 1, 2, \dots \quad \text{eq. (7.2)}$$

$$\begin{aligned} b_k &= \frac{2}{T} \int_T x(t) \cdot \text{sen}\left(\frac{2\pi}{T} \cdot k t\right) dt = \\ &= \frac{2}{T} \int_T x(t) \cdot \text{sen}(\omega_o k t) dt \end{aligned} \quad k = 1, 2, \dots \quad \text{eq. (7.3)}$$

sendo que as integrais acima são tomadas ao longo do intervalo do período T do sinal periódico $x(t)$.

Observe que existe a_0 na série a_k [eq. (7.2)], mas não existe b_0 na série b_k [eq. (7.3)].

Além disso, a_0 (na eq. (7.2) fazendo $k = 0$), pode ser reescrito de forma mais simplificada pois, como

$$\cos\left(\frac{2\pi}{T} \cdot k t\right) = \cos(\omega_o k t) = 1, \quad \text{para } k = 0,$$

então,

$$a_0 = \frac{2}{T} \int_T x(t) \cdot dt$$

ou seja, a_0 de certa forma representa um valor médio do sinal $x(t)$ no intervalo de um período T .

Esta série é conhecida como série trigonométrica de Fourier pois contém termos com *senos* e *co-senos*.

A equação eq. (7.1) acima é conhecida como a

“equação de síntese”

e as equações eq. (7.2) e eq. (7.3) são conhecidas como as

“equações de análise”

da série trigonométrica de Fourier. Os a_k 's e os b_k 's são chamados de coeficientes da série trigonométrica de Fourier.

7.3 – Teorema de Fourier

Definição 7.1: $x(t)$ é um sinal seccionalmente contínuo (ou, também chamado de “contínuo por partes”) se $x(t)$ tem um número limitado de descontinuidades em qualquer intervalo limitado.

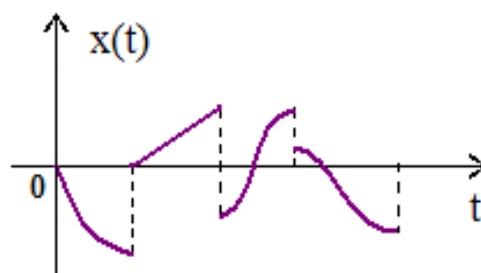


Fig. 7.3 – Um sinal seccionalmente contínuo.

Definição 7.2: $x(t)$ é um sinal seccionalmente diferenciável se ambos $x(t)$ e sua derivada $x'(t)$ forem sinais seccionalmente contínuos.

Com estas definições podemos agora ver o Teorema de Fourier que estabelece os tipos de sinais que podem ser aproximados pela série de Fourier.

Teorema 7.1 (Teorema de Fourier):

Se $x(t)$ é um sinal periódico *seccionalmente diferenciável* e de período T , então a série de Fourier [eq. (7.1)] converge em cada ponto t para:

- a) $x(t)$, se o sinal $x(t)$ for contínuo no instante t ;
- b) $\frac{1}{2} [x(t+0^+) + x(t+0^-)]$, o sinal $x(t)$ for descontínuo no instante t .

Um ponto positivo deste resultado é que a limitação do *Teorema de Fourier* acima é muito leve pois a grande maioria dos, ou quase todos, sinais de interesse prático são *seccionalmente diferenciáveis*.

Portanto, o *Teorema de Fourier* acima assegura que, para os sinais $x(t)$ que forem aproximados pela série de Fourier, quanto mais termos da série (ou parcelas da soma) forem adicionados, melhor será a aproximação.

Ou seja, se chamarmos de $x_n(t)$ à série de Fourier com n termos, então:

$$x_n(t) \rightarrow x(t)$$

nos casos em que $x(t)$ for um sinal contínuo no instante t ; e

$$x_n(t) \rightarrow \frac{[x(t+0^+) + x(t+0^-)]}{2}$$

nos casos em que $x(t)$ não for um sinal contínuo no instante t .

Exemplo 7.1:

Considere o sinal $x(t)$ dado abaixo (onda quadrada), definido num intervalo (de $t = -1$ até $t = 1$) ilustrado na figura 7.4.

$$x(t) = \begin{cases} -1, & \text{se } -1 < t < 0 \\ 1, & \text{se } 0 < t < 1 \end{cases}$$

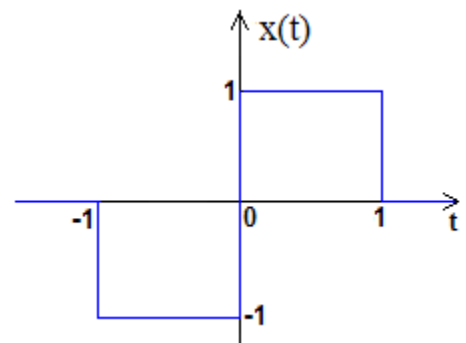


Fig. 7.4 – Sinal da onda quadrada em um período (de $t = -1$ até 1).

Repetindo-se (ou estendendo-se) este padrão para a direita de $t = 1$ e para esquerda de $t = -1$, obtemos um sinal periódico para $\forall t$ ($-\infty < t < \infty$).

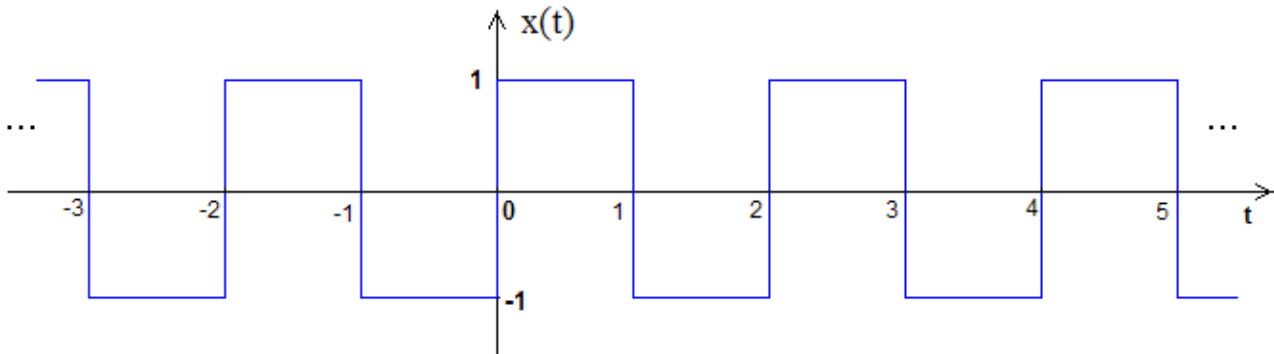


Fig. 7.5 – Sinal do Exemplo 7.1. Onda quadrada estendida para $\forall t$ ($-\infty < t < \infty$).

Agora $x(t)$, sendo um sinal periódico $\forall t$ ($-\infty < t < \infty$) já pode ser aproximado por uma série de Fourier.

De forma semelhante podemos estender qualquer outro sinal definido em um determinado intervalo finito e torná-lo periódico de forma a podermos aproximá-lo por uma série de Fourier.

Calculando-se agora os coeficientes de Fourier para o sinal da onda quadrada definido acima temos, para a_0 primeiramente,

$$a_0 = \frac{2}{T} \int_T x(t) \cdot dt = \int_{-1}^0 (-1) dt + \int_0^1 (1) dt = 0$$

Como o período fundamental é $T = 2$, então

$$\omega_0 = \frac{2\pi}{T} = \pi$$

e portanto,

$$\begin{aligned} a_k &= \frac{2}{T} \int_{-1}^1 x(t) \cdot \cos(k\pi t) dt = \\ &= \int_{-1}^0 (-1) \cdot \cos(k\pi t) dt + \int_0^1 1 \cdot \cos(k\pi t) dt = \\ &= \frac{1}{\pi k} \left([-\sin(k\pi t)]_{-1}^0 + [\sin(k\pi t)]_0^1 \right) = \\ &= 0, \quad k=1, 2, \dots \end{aligned}$$

Logo os a_k 's são todos iguais a zero $\forall k = 0, 1, 2, \dots$

Quanto aos b_k 's, temos que:

$$\begin{aligned} b_k &= \frac{2}{T} \int_{-1}^1 x(t) \cdot \text{sen}(k\pi t) dt = \\ &= \int_{-1}^0 (-1) \cdot \text{sen}(k\pi t) dt + \int_0^1 1 \cdot \text{sen}(k\pi t) dt = \\ &= \frac{1}{\pi k} \left([\cos(k\pi t)]_{-1}^0 + [-\cos(k\pi t)]_0^1 \right) = \end{aligned}$$

e portanto,

$$b_k = \begin{cases} 0, & \text{se } k \text{ é par} \\ \frac{4}{\pi k}, & \text{se } k \text{ é ímpar} \end{cases}$$

Ou seja,

$$\begin{array}{lll} b_1 = \frac{4}{\pi}, & b_5 = \frac{4}{5\pi}, & b_9 = \frac{4}{9\pi}, \\ b_2 = 0, & b_6 = 0, & b_{10} = 0, \\ b_3 = \frac{4}{3\pi}, & b_7 = \frac{4}{7\pi}, & b_{11} = \frac{4}{11\pi}, \\ b_4 = 0, & b_8 = 0, & \text{etc.} \end{array}$$

Logo, esta é uma série de Fourier só de senos e os primeiros termos da série são:

$$\begin{aligned} x(t) &= \frac{4}{\pi} \text{sen}(\pi t) + \frac{4}{3\pi} \text{sen}(3\pi t) + \frac{4}{5\pi} \text{sen}(5\pi t) + \\ &\quad + \frac{4}{7\pi} \text{sen}(7\pi t) + \frac{4}{9\pi} \text{sen}(9\pi t) + \frac{4}{11\pi} \text{sen}(11\pi t) + \dots \end{aligned}$$

As figuras 7.6 até 7.10 abaixo mostram esboços do sinal $x(t)$ aproximado pela série de Fourier.

Primeiramente na figura 7.6, com apenas um termo (isto é, apenas $k = 1$), quando $x(t)$ é simplesmente o seno

$$x(t) = b_1 \sin(\pi t) = (4/\pi) \sin(\pi t)$$

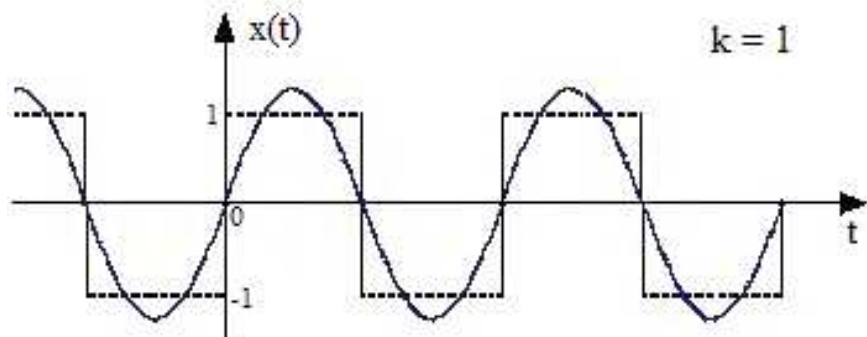


Fig. 7.6 – Sinal onda quadrada. Aproximação por série de Fourier com apenas um termo ($k = 1$).

Na figura 7.8 vemos que com 2 termos (os dois primeiros termos não nulos, até $k = 3$, pois $b_2 = 0$) temos a soma de 2 senos (e já nota-se 2 picos no sinal aproximado pela série):

$$x(t) = b_1 \sin(\pi t) + b_3 \sin(\pi t)$$

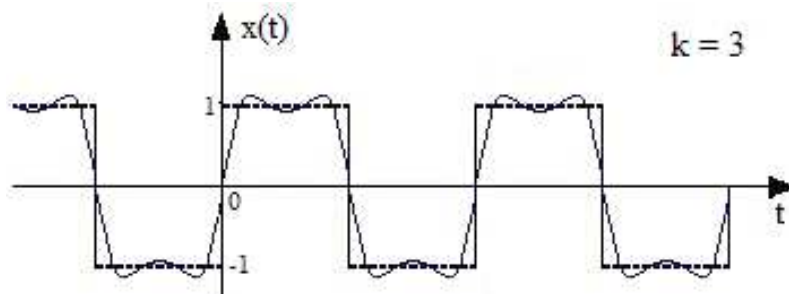


Fig. 7.7 – Sinal onda quadrada. Aproximação por série de Fourier com apenas dois termos ($k = 1$ e 3).

Depois, na figura 7.8, com 3 termos (os três primeiros termos não nulos, até $k = 5$, pois $b_2 = 0$ e $b_4 = 0$) temos a soma de 3 senos (e agora já nota-se 3 picos no sinal aproximado pela série):

$$x(t) = b_1 \sin(\pi t) + b_3 \sin(\pi t) + b_5 \sin(\pi t)$$

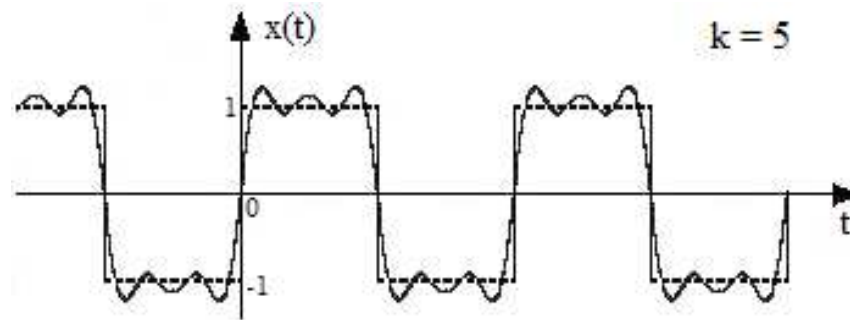


Fig. 7.8 – Sinal onda quadrada. Aproximação por série de Fourier com apenas três termos ($k = 1, 3$ e 5).

e assim por diante.

As duas últimas figuras (figuras 7.9 e 7.10) ilustram esta série até $k = 11$ (6 termos não nulos) e até $k = 49$ (25 termos não nulos), respectivamente.

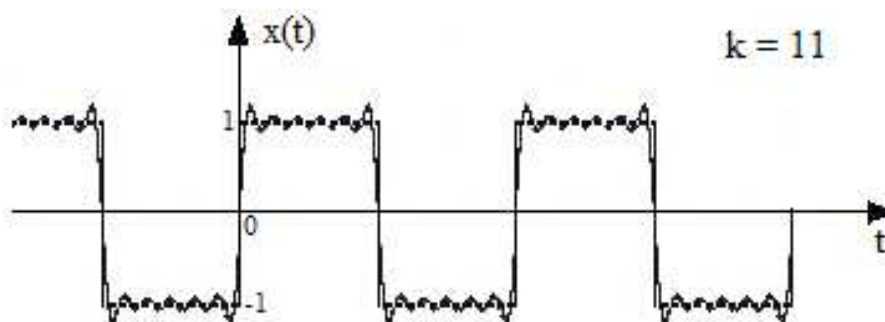


Fig. 7.9 – Sinal onda quadrada. Aproximação por série de Fourier com seis termos ($k = 1, 3, 5, 7, 9$ e 11).

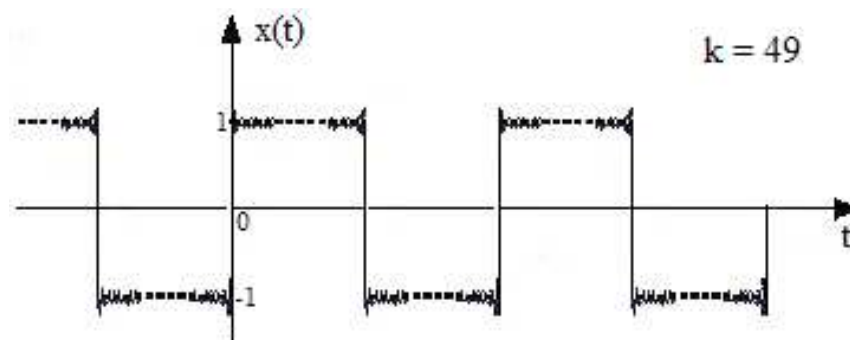


Fig. 7.10 – Sinal onda quadrada. Aproximação por série de Fourier com 25 termos ($k = 1, 3, \dots, 49$).

Nota-se nitidamente que o sinal $x(t)$ aproximado pela série de Fourier vai se tornando cada vez mais próximo do original, a onda quadrada.

Nos pontos t onde $x(t)$ é um sinal contínuo esta série de Fourier converge para o próprio valor de $x(t)$.

Por exemplo, para $t = 0,5$, sabemos que $x(0,5) = 1$. Pela série de Fourier,

$$x(0,5) = \frac{4}{\pi} \text{sen}(0,5\pi) + \frac{4}{3\pi} \text{sen}(1,5\pi) + \frac{4}{5\pi} \text{sen}(2,5\pi) + \frac{4}{7\pi} \text{sen}(3,5\pi) + \frac{4}{9\pi} \text{sen}(4,5\pi) + \dots$$

que de facto converge para 1.

Por outro lado, nos pontos t onde $x(t)$ apresenta uma descontinuidade, esta série de Fourier converge para o valor médio de $x(t)$, entre o imediatamente antes e o imediatamente depois de t .

Por exemplo, para $t = 0^-$, sabemos que $x(0^-) = -1$, e $t = 0^+$, e que $x(0^+) = 1$. Logo, o ponto médio é:

$$\frac{x(0^+) + x(0^-)}{2} = \frac{-1 + 1}{2} = 0$$

Pela série de Fourier,

$$\begin{aligned} x(0) &= \frac{4}{\pi} \text{sen}(0) + \frac{4}{3\pi} \text{sen}(0) + \frac{4}{5\pi} \text{sen}(0) + \frac{4}{7\pi} \text{sen}(0) + \frac{4}{9\pi} \text{sen}(0) + \dots = \\ &= 0 + 0 + 0 + 0 + 0 \end{aligned}$$

que de facto converge para 0.

□

Mais adiante, nas *Propriedades da Série de Fourier*, veremos que:

Se $x(t)$ é um sinal par, então a série de Fourier para $x(t)$ é uma série de co-senos.

Se $x(t)$ é um sinal ímpar, então a série de Fourier para $x(t)$ é uma série de senos.

Isto pode ser visto pelas propriedades dos sinais *pares* e *ímpares*. Recorde-se que,

- A *soma* de 2 sinais **pares** é um sinal **par**.
- A *soma* de 2 sinais **ímpares** é um sinal **ímpar**.
- O *produto* de 2 sinais **pares** é um sinal **par**.
- O *produto* de 2 sinais **ímpares** é um sinal **par**.

Logo, se $x(t)$ é um sinal **par**, então os coeficientes b_k da série de Fourier para $x(t)$ são todos iguais a zero:

$$b_k = \frac{2}{T} \int_T x(t) \cdot \sin\left(\frac{2\pi}{T} \cdot k t\right) dt = 0, \quad k = 1, 2, 3, \dots$$

e portanto, a série de Fourier é uma série de ***co-senos***.

Mas se $x(t)$ é um sinal **ímpar**, então os coeficientes a_k da série de Fourier para $x(t)$ são todos iguais a zero (incluindo a_0):

$$a_k = \frac{2}{T} \int_T x(t) \cdot \cos\left(\frac{2\pi}{T} \cdot k t\right) dt = 0, \quad k = 0, 1, 2, 3, \dots$$

e portanto, a série de Fourier é uma série de ***senos***.

De facto, no Exemplo 7.1 acima, como $x(t)$ era um *senal par*, então os a_k 's eram todos iguais a zero $\forall k = 0, 1, 2, \dots$, e a série de Fourier era uma série de ***senos***.

7.4 – Uma interpretação da Série de Fourier

A “*série de Fourier*” pode ser interpretada como uma forma de expressar um sinal $x(t)$, em um espaço de sinais.

Recorde-se um vector \mathbf{v} no espaço \mathbb{R}^n é representado como a soma

$$\mathbf{v} = \alpha_1 \cdot \mathbf{e}_1 + \alpha_2 \cdot \mathbf{e}_2 + \dots + \alpha_n \cdot \mathbf{e}_n$$

onde $\mathbf{e}_1, \mathbf{e}_2, \dots, \mathbf{e}_n$, são os vectores

$$e_1 = \begin{bmatrix} 1 \\ 0 \\ \vdots \\ 0 \end{bmatrix}, \quad e_2 = \begin{bmatrix} 0 \\ 1 \\ \vdots \\ 0 \end{bmatrix}, \quad \dots \quad e_n = \begin{bmatrix} 0 \\ 0 \\ \vdots \\ 1 \end{bmatrix}$$

ou seja, $\{e_1, e_2, \dots, e_n\}$, os chamados vectores canónicos e formam uma base do \mathbb{R}^n ; e $\alpha_1, \alpha_2, \dots, \alpha_n$, são os coeficientes do vector v nesta base $\{e_1, e_2, \dots, e_n\}$.

Da mesma forma, um sinal $x(t)$ pode ser representado semelhantemente na forma da eq. (7.1) como a soma infinita de senos e co-senos.

Note que aqui o espaço não é mais o espaço de vectores (\mathbb{R}^n , que tem dimensão n) mas sim um espaço de sinais, que terá dimensão infinita. A base do espaço não será mais formada pelos vectores e_1, e_2, \dots, e_n , mas agora pelos sinais *senos* e *co-senos*

$$\cos\left(\frac{2\pi}{T} \cdot k t\right) \quad \text{e} \quad \sin\left(\frac{2\pi}{T} \cdot k t\right)$$

definidos nas equações de análise eq. (7.2) e eq. (7.3). Além disso, os coeficientes que representam o sinal $x(t)$ nesta base não serão mais $\alpha_1, \alpha_2, \dots, \alpha_n$, mas agora serão os

$$a_k \quad \text{e} \quad b_k.$$

Em outras palavras, estes *senos* e *co-senos* formam uma base infinita de sinais.

Claro que a expressão da eq. (7.1) é definida apenas para sinais periódicos, Entretanto, já vimos no exemplo 7.1 que um sinal $x(t)$ que seja definido em um intervalo finito qualquer pode ser estendido para ambos os lados deste intervalo, tornando-se assim periódico e desta forma pode ser descrito também na forma da eq. (7.1). As figuras 7.4 e 7.5 ilustravam isto.

Outro detalhe: no espaço \mathbb{R}^n os próprios vectores da base e_1, e_2, \dots, e_n eram representados (de forma única) como

$$e_i = \begin{bmatrix} 0 \\ 1 \\ \vdots \\ 0 \end{bmatrix} = 0 \cdot e_1 + 0 \cdot e_2 + \dots + 1 \cdot e_i + \dots + 0 \cdot e_n$$

ou seja, com coeficientes

$$\alpha_1 = 0, \alpha_2 = 0, \dots, \alpha_i = 1, \dots, \alpha_n = 0$$

isto é,

$$\{\alpha_1, \alpha_2, \dots, \alpha_i, \dots, \alpha_n\} = \{0, 0, \dots, 1, \dots, 0\}.$$

Aqui também temos que os sinais *senos* e *co-senos* da base são representados (de forma única) como

$$\cos\left(\frac{2\pi}{T} \cdot \ell t\right) = \frac{a_0}{2} + \sum_{k=1}^{\infty} \left[a_k \cdot \cos\left(\frac{2\pi}{T} \cdot k t\right) + b_k \cdot \sin\left(\frac{2\pi}{T} \cdot k t\right) \right]$$

onde todos os a_k e b_k serão todos iguais a “zero” excepto o valor de a_k para $k = \ell$, ou seja:

$$a_k = 0, b_k = 0, \text{ excepto } a_\ell = 1$$

e, além disso

$$\sin\left(\frac{2\pi}{T} \cdot \ell t\right) = \frac{a_0}{2} + \sum_{k=1}^{\infty} \left[a_k \cdot \cos\left(\frac{2\pi}{T} \cdot k t\right) + b_k \cdot \sin\left(\frac{2\pi}{T} \cdot k t\right) \right]$$

onde todos os a_k e b_k serão todos iguais a “zero” excepto o valor de b_k para $k = \ell$, ou seja:

$$a_k = 0, b_k = 0, \text{ excepto } b_\ell = 1.$$

Isto ocorria porque o produto escalar entre 2 vectores ‘ e_m ’ e ‘ e_n ’, que pertençam à base, é

$$\langle e_m, e_n \rangle = 0, \text{ se } m \neq n,$$

$$\langle e_m, e_n \rangle = 1, \text{ se } m = n,$$

onde o produto escalar entre 2 vectores no espaço \mathbb{R}^n era definido como

$$\langle v, \bar{v} \rangle = \alpha_1 \cdot \bar{\alpha}_1 + \alpha_2 \cdot \bar{\alpha}_2 + \dots + \alpha_n \cdot \bar{\alpha}_n$$

sendo $\alpha_1, \alpha_2, \dots, \alpha_n$ os coeficientes de v e $\bar{\alpha}_1, \bar{\alpha}_2, \dots, \bar{\alpha}_n$ os coeficientes de \bar{v} .

Devido a esta propriedade, dizemos que os vectores e_1, e_2, \dots, e_n da base são “*ortogonais*” entre si.

Aqui, neste espaço de sinais cuja base é formada por *senos* e *co-senos*, o produto escalar entre 2 sinais pode ser definido como:

$$\langle x(t), \bar{x}(t) \rangle = a_0 \cdot \bar{a}_0 + \dots + a_k \cdot \bar{a}_k + \dots + b_1 \cdot \bar{b}_1 + \dots + b_k \cdot \bar{b}_k + \dots$$

onde $a_0, a_1, \dots, a_k, \dots, b_1, \dots, b_k$ são os coeficientes de $x(t)$ na série de Fourier e $\bar{a}_0, \bar{a}_1, \dots, \bar{a}_k, \dots, \bar{b}_0, \bar{b}_1, \dots, \bar{b}_k$ os coeficientes de $\bar{x}(t)$ na série de Fourier. Desta forma pode-se verificar que

$$\left\langle \cos\left(\frac{2\pi}{T} \cdot m t\right), \cos\left(\frac{2\pi}{T} \cdot n t\right) \right\rangle = 0, \quad \text{se } m \neq n,$$

$$\left\langle \cos\left(\frac{2\pi}{T} \cdot m t\right), \cos\left(\frac{2\pi}{T} \cdot n t\right) \right\rangle = 1, \quad \text{se } m = n,$$

$$\left\langle \sin\left(\frac{2\pi}{T} \cdot m t\right), \sin\left(\frac{2\pi}{T} \cdot n t\right) \right\rangle = 0, \quad \text{se } m \neq n, \text{ e}$$

$$\left\langle \sin\left(\frac{2\pi}{T} \cdot m t\right), \sin\left(\frac{2\pi}{T} \cdot n t\right) \right\rangle = 1, \quad \text{se } m = n.$$

ou seja, aqui os sinais da base também são ortogonais entre si. Isso se verifica observando-se as equações de análise eq. (7.2) e eq. (7.3) e devido ao facto que

$$\int_T \cos\left(\frac{2\pi}{T} \cdot m t\right) \cdot \cos\left(\frac{2\pi}{T} \cdot n t\right) dt = 0, \quad \text{se } m \neq n$$

$$\int_T \sin\left(\frac{2\pi}{T} \cdot m t\right) \cdot \sin\left(\frac{2\pi}{T} \cdot n t\right) dt = 0, \quad \text{se } m \neq n$$

e

$$\int_T \cos\left(\frac{2\pi}{T} \cdot m t\right) \cdot \cos\left(\frac{2\pi}{T} \cdot n t\right) dt = \frac{T}{2}, \quad \text{se } m = n$$

$$\int_T \sin\left(\frac{2\pi}{T} \cdot m t\right) \cdot \sin\left(\frac{2\pi}{T} \cdot n t\right) dt = \frac{T}{2}, \quad \text{se } m = n$$

um resultado bastante conhecido em matemática, da teoria do “Cálculo”. Isto é, as integrais de *senos* e/ou *co-senos* de frequência diferentes multiplicados entre si são nulas. Os *senos* e *co-senos* são “*ortogonais*”.

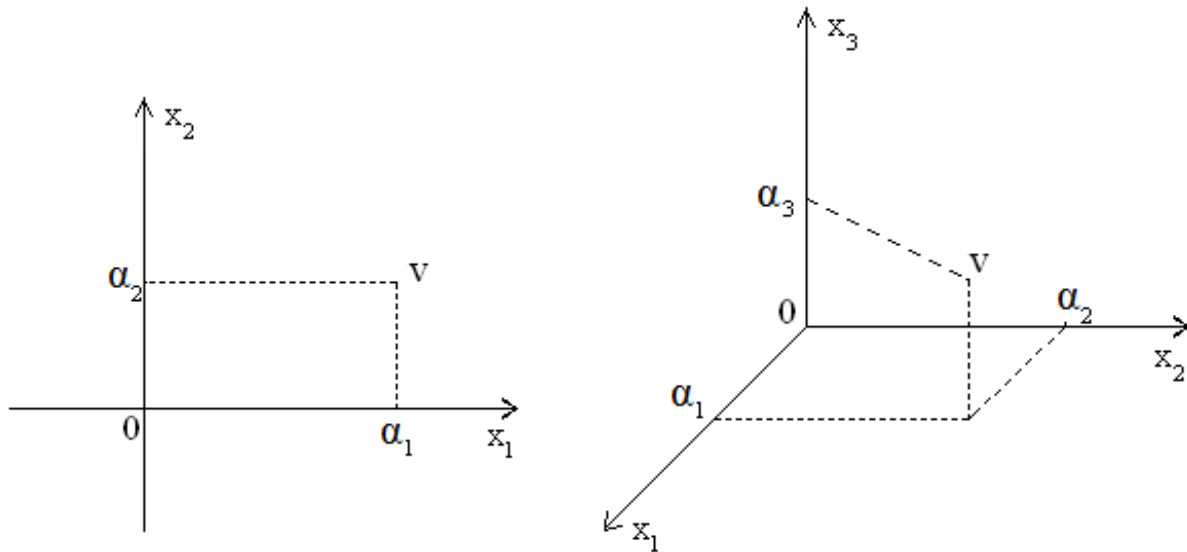


Fig. 7.11 – Projecções de um vector $v \in \mathbb{R}^2$ nos seus 2 eixos (à esquerda) e $v \in \mathbb{R}^3$ nos seus 3 eixos (à direita).

Uma propriedade importante verificada nos vectores no espaço \mathbb{R}^n era que o produto escalar entre v e um elemento e_k da base era o próprio coeficiente α_k , ou seja,

$$\langle v, e_k \rangle = \alpha_k$$

De certa forma isto significava que os α_k eram as projecções dos vectores do \mathbb{R}^n nos seus diversos eixos, conforme ilustra a figura 7.11 para o \mathbb{R}^2 e \mathbb{R}^3 .

Aqui no espaço de funções também verifica-se que

$$\langle x(t), \cos\left(\frac{2\pi}{T} \cdot k t\right) \rangle = a_k \quad \text{e} \quad \langle x(t), \sin\left(\frac{2\pi}{T} \cdot k t\right) \rangle = b_k$$

o que também pode ser interpretado que os a_k e os b_k são uma espécie de projecção do sinal $x(t)$ nos diversos sinais senos e co-senos componentes da base.

7.5 – Série exponencial de Fourier para sinais contínuos

Nesta secção estudaremos a “série exponencial de Fourier” é também chamada de “série complexa de Fourier”.

Se o sinal $x(t) \in \mathbb{R}$, então a série exponencial de Fourier é a mesma que a série trigonométrica escrita de uma forma diferente, em termos de exponenciais do tipo

$$e^{j\omega_0 t}$$

em vez de em termos de senos e co-senos.

Entretanto, considere agora

um sinal periódico contínuo $x(t) \in \mathbb{C} = \{\text{conjunto dos números complexos}\}$

ou seja, o sinal $x(t)$ tem valores complexos, com parte real e parte imaginária. A série exponencial de Fourier permite-nos aproximar $x(t)$, o que não era possível com a série trigonométrica.

Na série *exponencial* (ou *complexa*) de Fourier um sinal periódico $x(t)$ pode ser expresso como:

$$\begin{aligned} x(t) &= \sum_{k=-\infty}^{\infty} c_k \cdot e^{j\left(\frac{2\pi}{T}\right) \cdot k t} = \\ &= \sum_{k=-\infty}^{\infty} c_k \cdot e^{j\omega_0 \cdot k t} \end{aligned} \quad \text{eq. (7.4)}$$

onde:

T = período fundamental do sinal $x(t)$.

ω_0 = frequência fundamental do sinal $x(t)$.

e

$$\begin{aligned} c_k &= \frac{1}{T} \int_T x(t) \cdot e^{-j\left(\frac{2\pi}{T}\right) \cdot k t} \cdot dt = \\ &= \frac{1}{T} \int_T x(t) \cdot e^{-j\omega_0 \cdot k t} \cdot dt \end{aligned} \quad k = 0, \pm 1, \pm 2, \dots \quad \text{eq. (7.5)}$$

Portanto, a série *exponencial* (ou *complexa*) de Fourier generaliza a série trigonométrica de Fourier e tem também a vantagem de ser mais compacta.

Os c_k 's são chamados de coeficientes da série exponencial de Fourier ou coeficientes espectrais.

Semelhantemente à série trigonométrica, a equação eq. (7.4) acima é conhecida como a

equação de síntese

enquanto que a equação eq. (7.5) é conhecida como a

equação de análise

da *série exponencial* (ou *complexa*) de Fourier.

Exemplo 7.2:

Tomemos novamente a onda quadrada $x(t)$ em um período (de $t = -1$ até $t = 1$) ilustrada na figura 7.12.

$$x(t) = \begin{cases} -1, & \text{se } -1 < t < 0 \\ 1, & \text{se } 0 < t < 1 \end{cases}$$

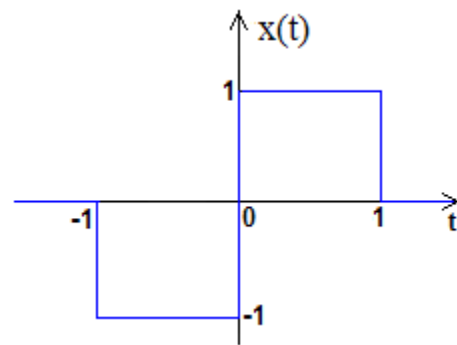


Fig. 7.12 – Sinal do Exemplo 7.2. Onda quadrada em um período (de $t = -1$ até 1).

E, repetindo-se (ou estendendo-se) este padrão para a direita de $t = 1$ e para esquerda de $t = -1$, obtemos um sinal periódico que pode ser aproximado pela série *exponencial* (ou *complexa*) de Fourier.

Novamente, o período fundamental é $T = 2$, e

$$\omega_0 = \frac{2\pi}{T} = \pi$$

e portanto, os coeficientes desta série *complexa* de Fourier para o sinal da onda quadrada acima são:

$$\begin{aligned}
c_k &= \frac{1}{T} \int_{-1}^1 x(t) \cdot e^{-j(k\pi t)} dt = \\
&= \frac{1}{2} \int_{-1}^0 (-1) \cdot e^{-j(k\pi t)} dt + \frac{1}{2} \int_0^1 1 \cdot e^{-j(k\pi t)} dt = \quad k = 0, \pm 1, \pm 2, \dots
\end{aligned}$$

Fazendo-se as integrais, obtemos:

$$\begin{aligned}
c_k &= \frac{1}{2} \cdot \frac{1}{\pi k j} \left(\left[e^{-j(k\pi t)} \right]_{-1}^0 \right) + \frac{1}{2} \cdot \frac{(-1)}{\pi k j} \left(\left[e^{-j(k\pi t)} \right]_0^1 \right) = \\
&= \frac{1}{2\pi k j} \left(1 - e^{jk\pi} - e^{-jk\pi} + 1 \right) = \frac{1}{2\pi k j} \left(2 - e^{jk\pi} - e^{-jk\pi} \right)
\end{aligned}$$

Agora, usando-se as equações de Eüler temos que:

$$\begin{aligned}
c_k &= \frac{1}{2\pi k j} \left[2 - \cos(k\pi) - j \cdot \sin(k\pi) - \cos(k\pi) + j \cdot \sin(k\pi) \right] \\
&= \frac{1}{2\pi k j} 2 \left(1 - \cos(k\pi) \right) = \\
&= \frac{-j}{\pi k} \left(1 - \cos(k\pi) \right)
\end{aligned}$$

e portanto,

$$c_k = \begin{cases} 0, & \text{se } k = 0, \pm 2, \pm 4, \dots \\ \frac{-2}{\pi k} j, & \text{se } k = \pm 1, \pm 3, \pm 5, \dots \end{cases}$$

Logo,

$$\begin{aligned}
x(t) &= \sum_{k=-\infty}^{\infty} c_k e^{j\omega_0 k t} = \\
&= \sum_{k=\pm 1, \pm 3, \pm 5, \dots}^{\infty} \left(\frac{-2}{\pi k} j \right) e^{jk\pi t} = \\
&= \sum_{k=\pm 1, \pm 3, \pm 5, \dots}^{\infty} \left(\frac{-2}{\pi k} j \right) \cdot \left[\cos(k\pi t) + j \cdot \sin(k\pi t) \right]
\end{aligned}$$

e, desmembrando-se a soma $k = \pm 1, \pm 3, \pm 5, \dots$ em duas de $k = 1, 3, 5, \dots$, como o seno é ímpar [$\sin(k\pi t) = -\sin(-k\pi t)$, $\forall k$] e o co-seno é par [$\cos(k\pi t) = \cos(-k\pi t)$, $\forall k$], temos:

$$\begin{aligned} x(t) = & \sum_{k=1, 3, 5, \dots}^{\infty} \left(\frac{-2j}{\pi k} \right) \cos(k\pi t) + \sum_{k=1, 3, 5, \dots}^{\infty} \left(\frac{-2j}{\pi k} \right) j \cdot \sin(k\pi t) + \\ & + \sum_{k=1, 3, 5, \dots}^{\infty} \left(\frac{2j}{\pi k} \right) \cos(k\pi t) + \sum_{k=1, 3, 5, \dots}^{\infty} \left(\frac{-2j}{\pi k} \right) j \cdot \sin(k\pi t) \end{aligned}$$

e portanto os dois termos com co-senos se cancelam um ao outro, enquanto que os dois termos com senos são idênticos, logo podem se juntar ficando:

$$\begin{aligned} x(t) = & 2 \cdot \left[\sum_{k=1, 3, 5, \dots}^{\infty} \left(\frac{-2j}{\pi k} \right) j \cdot \sin(k\pi t) \right] = \\ = & \sum_{k=1, 3, 5, \dots}^{\infty} \left(\frac{4}{\pi k} \right) \sin(k\pi t) \end{aligned}$$

que é o mesmo resultado obtido no Exemplo 1 com a série trigonométrica de Fourier, ou seja:

$$\begin{aligned} x(t) = & \frac{4}{\pi} \sin(\pi t) + \frac{4}{3\pi} \sin(3\pi t) + \frac{4}{5\pi} \sin(5\pi t) + \\ & + \frac{4}{7\pi} \sin(7\pi t) + \frac{4}{9\pi} \sin(9\pi t) + \frac{4}{11\pi} \sin(11\pi t) + \dots \end{aligned}$$

□

Isso acontece porque as séries *trigonométricas* e *complexa* (ou *exponencial*) de Fourier são equivalentes, um resultado que vamos ver a seguir na próxima secção.

7.6 – Equivalência das séries trigonométrica e exponencial de Fourier

Se o sinal $x(t)$ for de valores reais, então existe uma relação entre a *série trigonométrica* e a *série complexa* (ou *exponencial*) de Fourier. Pode-se facilmente mostrar que:

$$c_k = \frac{a_k - j \cdot b_k}{2} \quad \text{para } k = 0, 1, 2, \dots \quad \text{eq. (7.6)}$$

e

$$c_{-k} = \frac{a_k + j \cdot b_k}{2} \quad \text{para } k = 1, 2, \dots \quad \text{eq. (7.7)}$$

Embora o coeficiente b_0 não exista, pois não foi definido, na eq. (7.6) assume-se que $b_0 = 0$. Portanto, o coeficiente c_0 pode ser expresso como:

$$c_0 = \frac{a_0}{2}. \quad \text{eq. (7.8)}$$

Note também que enquanto os coeficientes a_k s e b_k s são definidos nas eq. (7.2) e eq. (7.3) apenas para $k = 0, 1, 2, \dots$, os coeficientes c_k s são definidos nas eq. (7.6) e eq. (7.7) para $k = 0, \pm 1, \pm 2, \dots$

Observe também que a eq. (7.7) é equivalentes a:

$$c_k = \frac{a_{-k} + j \cdot b_{-k}}{2} \quad \text{para } k = -1, -2, \dots \quad \text{eq. (7.9)}$$

Sabemos, pelas eq. (7.2) e eq. (7.3) da série trigonométrica de Fourier, que não existe a_k s ou b_k s para k negativos, entretanto a_{-k} e b_{-k} estão bem definidos na eq. (7.9) pois nesta equação $k = -1, -2, \dots$ e portanto os índices de a_k e b_k serão sempre positivos. Por exemplo:

$$a_{-k} \text{ para } k = -2 \text{ será o } a_2,$$

ou

$$b_{-k} \text{ para } k = -5 \text{ será o } b_5.$$

Os termos c_k para k positivos são os conjugados de c_k para k negativos, e vice-versa, isto é:

$$c_k = (c_{-k})^*, \quad \forall k = 0, \pm 1, \pm 2, \pm 3, \dots$$

As equações acima permitem que se transforme uma *série trigonométrica* em uma *série exponencial*.

O inverso, ou seja, as equações que permitem transformar uma *série exponencial* em uma *série trigonométrica* são as seguintes:

$$a_0 = 2 c_0 \quad \text{eq. (7.10)}$$

$$a_k = (c_k + c_{-k}) \quad \text{para } k = 1, 2, \dots \quad \text{eq. (7.11)}$$

e

$$b_k = j \cdot (c_k - c_{-k}) \quad \text{para } k = 1, 2, \dots \quad \text{eq. (7.12)}$$

Com as relações acima é fácil de se mostrar que, quando $x(t)$ é um sinal real, então:

$$\begin{aligned} x(t) &= \sum_{k=-\infty}^{\infty} c_k e^{j\left(\frac{2\pi}{T}\right)k t} = \sum_{k=-\infty}^{\infty} c_k e^{j\omega_0 k t} \\ &= \frac{a_0}{2} + \sum_{k=1}^{\infty} \left[a_k \cos\left(\frac{2\pi}{T} \cdot k t\right) + b_k \sin\left(\frac{2\pi}{T} \cdot k t\right) \right] = \\ &= \frac{a_0}{2} + \sum_{k=1}^{\infty} [a_k \cos(\omega_0 k t) + b_k \sin(\omega_0 k t)] \end{aligned}$$

ou seja, as duas séries de Fourier, ‘*trigonométrica*’ e ‘*exponencial*’, são equivalentes.

7.7 – Propriedades das séries de Fourier para sinais contínuos

● Linearidade:

Suponha que

$x_1(t)$ é um sinal com período T e tem coeficientes de Fourier c'_k

$x_2(t)$ é um sinal com período T e tem coeficientes de Fourier c''_k

e que

$$y(t) = \alpha x_1(t) + \beta x_2(t)$$

então, mostra-se que:

$$y(t) \text{ tem período } T ,$$

ou seja,

$$y(t) \text{ tem frequência fundamental } \omega_0 = \frac{2\pi}{T} ,$$

e coeficientes de Fourier

$$c_k = \alpha c'_k + \beta c''_k$$

● Translação no tempo (“*time shifting*”):

Suponha que

$x(t)$ é um sinal com período T e tem coeficientes de Fourier c_k

e que

$$y(t) = x(t - t_0)$$

ou seja,

$y(t)$ é o sinal $x(t)$ com uma translação (*shift*) no tempo de t_0 .

Então, mostra-se que:

$$y(t) \text{ tem período } T ,$$

ou seja,

$$y(t) \text{ tem frequência fundamental } \omega_0 = \frac{2\pi}{T} ,$$

e coeficientes de Fourier

$$\begin{aligned}\tilde{c}_k &= e^{-jk\omega_0 t_0} \cdot c_k = \\ &= e^{-jk\left(\frac{2\pi}{T}\right)t_0} \cdot c_k\end{aligned}$$

Nota:

Como $|e^{j\theta}| = 1, \forall \theta$, tem-se que:

$$|\tilde{c}_k| = |c_k|$$

● **Sinal refletido / reversão no tempo (“time reversal”)** em torno de $t = 0$:

Suponha que

$x(t)$ é um sinal com período T e tem coeficientes de Fourier c_k

e que

$$y(t) = x(-t)$$

então, mostra-se que:

$y(t)$ tem período T ,

ou seja

$$y(t) \text{ tem frequência fundamental } \omega_0 = \frac{2\pi}{T},$$

e coeficientes de Fourier

$$\hat{c}_k = c_{-k}$$

Nota:

Como consequência desta propriedade pode-se concluir que:

Se $x(t)$ é um *senal par* \Rightarrow os coeficientes de Fourier c_k são, eles próprios, *pares*; i.e.,

$$c_k = c_{-k}$$

Se $x(t)$ é um *senal ímpar* \Rightarrow os coeficientes de Fourier c_k são, eles próprios, *ímpares*; i.e.,

$$c_k = -c_{-k}$$

● Escalonamento no tempo (“*time scaling*”):

Suponha que

$x(t)$ é um sinal com período T e tem coeficientes de Fourier c_k

(portanto $x(t)$ tem frequência fundamental $\omega_0 = \frac{2\pi}{T}$)

e que

$$y(t) = x(\alpha t)$$

então, mostra-se que:

$y(t)$ tem período $\frac{T}{\alpha}$,

ou seja

$y(t)$ tem frequência fundamental $\hat{T} = \alpha \omega_0 = \frac{2\alpha\pi}{T}$ e, além disso,

$$\begin{aligned} y(t) &= \sum_{k=-\infty}^{\infty} c_k e^{-jk\alpha\omega_0 t} = \\ &= \sum_{k=-\infty}^{\infty} c_k e^{-jk\left(\frac{2\alpha\pi}{T}\right)t} \end{aligned}$$

Note que a série de Fourier muda por causa da mudança da *frequência fundamental* (e do *período*). Entretanto os coeficientes c_k não mudam.

● Multiplicação:

Suponha que

$x_1(t)$ é um sinal com período T e tem coeficientes de Fourier c'_k

$x_2(t)$ é um sinal com período T e tem coeficientes de Fourier c''_k

e que

$$y(t) = x_1(t) \cdot x_2(t)$$

então, mostra-se que:

$y(t)$ tem período T , ou seja tem frequência fundamental $\omega_0 = \frac{2\pi}{T}$,

e coeficientes de Fourier

$$\begin{aligned} c_k &= \sum_{i=-\infty}^{\infty} c'_i \cdot c''_{k-i} = \\ &= c'[k] * c''[k] \end{aligned}$$

Ou seja, c_k é a convolução entre os sinais discretos $c'_k = c'[k]$ e $c''_k = c''[k]$.

$$\begin{aligned} c_k &= \sum_{ij=-\infty}^{\infty} c'_i \cdot c''_{k-i} = \\ &= c'_0 \cdot c''_k + c'_1 \cdot c''_{k-1} + c'_{-1} \cdot c''_{k+1} + c'_2 \cdot c''_{k-2} + c'_{-2} \cdot c''_{k+2} + \dots \end{aligned}$$

● Conjugação:

Suponha que

$x(t)$ é um sinal com período T e tem coeficientes de Fourier c_k

e que

$$y(t) = x^*(t)$$

então, mostra-se que:

$y(t)$ tem período T , ou seja tem frequência fundamental $\omega_0 = \frac{2\pi}{T}$,

e coeficientes de Fourier

$$\bar{c}_k = c_{-k}^*$$

Nota:

Como consequência desta propriedade pode-se concluir que:

Se $x(t) \in \mathbb{R}$, então

os coeficientes de Fourier $c_{-k} = c_k^*$;

$$c_0 \in \mathbb{R};$$

e

$$|c_k| = |c_{-k}|.$$

Além disso, as relações acima permitem ***mais uma vez*** concluir que:

Se $x(t) \in \mathbb{R}$ é um ***sinhal par*** \Rightarrow

os coeficientes de Fourier $c_k = c_k^*$; e

$c_k = c_{-k}$ (os coeficientes de Fourier são eles próprios “***pares***”).

Se $x(t) \in \mathbb{R}$ é um ***sinhal ímpar*** \Rightarrow

os coeficientes de Fourier c_k são imaginários puros, $c_0 = 0$ e

$c_k = -c_{-k}$ (os coeficientes de Fourier são eles próprios “***ímpares***”).

● **Translação na frequência (“frequency shifting”)**:

Suponha que

$x(t)$ é um sinal com período T e tem coeficientes de Fourier c_k

e, para um m inteiro, constante, considere agora os coeficientes

$$\bar{\bar{c}}_k = c_{k-m}$$

ou seja,

$\bar{\bar{c}}_k$ são os coeficientes c_k desfasados de m .

Então, mostra-se que o sinal:

$$y(t) = e^{jm\omega_0 t} \cdot x(t)$$

tem os coeficientes de Fourier $\bar{\bar{c}}_k$

Nota:

Esta propriedade é dual da translação no tempo (*time shifting*). Agora a translação (*shift*) foi aplicada aos c_k e não no tempo t .

Outro detalhe, como $|e^{j\theta}| = 1, \forall \theta$, então:

$$|\bar{\bar{c}}_k| = |c_k| \quad k = 0, \pm 1, \pm 2, \dots$$

● Convolução no período:

Suponha que

$x_1(t)$ é um sinal com período T e tem coeficientes de Fourier c'_k

$x_2(t)$ é um sinal com período T e tem coeficientes de Fourier c''_k

e que $y(t)$ é a convolução (tomada no período T):

$$\begin{aligned} y(t) &= x_1(t) * x_2(t) \\ &= \int_T x_1(t - \tau) \cdot x_2(\tau) d\tau \end{aligned}$$

Então, mostra-se que:

$y(t)$ tem período T , ou seja tem frequência fundamental $\omega_0 = \frac{2\pi}{T}$,

e coeficientes de Fourier

$$\tilde{\tilde{c}}_k = T \cdot c'_k \cdot c''_k$$

● **Derivada:**

Suponha que

$x(t)$ é um sinal com período T e tem coeficientes de Fourier c_k

e que

$$y(t) = \frac{dx}{dt}$$

então, mostra-se que:

$y(t)$ tem período T , ou seja tem frequência fundamental $\omega_o = \frac{2\pi}{T}$,

e coeficientes de Fourier

$$c'_k = jk \omega_o c_k = jk \left(\frac{2\pi}{T} \right) c_k$$

Nota:

Para o caso de derivadas de ordem 2 ou mais, pode-se aplicar esta regra sucessivas vezes. Por exemplo, no caso da segunda derivada, se

$$y(t) = \frac{d^2x}{dt^2}$$

os coeficientes de Fourier de $y(t)$ são

$$c''_k = jk \omega_o c'_k = j^2 k^2 \omega_o^2 c_k = -k^2 \omega_o^2 c_k = -k^2 \left(\frac{2\pi}{T} \right)^2 c_k.$$

● **Integral:**

Suponha que

$x(t)$ é um sinal com período T e tem coeficientes de Fourier c_k

e que

$$y(t) = \int_{-\infty}^t x(t) dt$$

então, mostra-se que:

$y(t)$ tem período T , ou seja tem frequência fundamental $\omega_o = \frac{2\pi}{T}$,

e coeficientes de Fourier

$$\tilde{c}_k = \frac{1}{jk\omega_o} \cdot c_k = \frac{1}{jk\left(\frac{2\pi}{T}\right)} \cdot c_k$$

Nota:

No caso de $c_o = 0$, esta propriedade só é válida para sinais $x(t)$ periódicos e com valores finitos.

Para o caso de integrais duplas, triplas, etc., pode-se aplicar esta regra sucessivas vezes.

● **Relação de Parseval:**

Suponha que

$x(t)$ é um sinal com período T e tem coeficientes de Fourier c_k

então, mostra-se que a potência média do sinal no intervalo de um período T :

$$\begin{aligned} P &= \frac{1}{T} \int_T |x^2(t)| dt = \\ &= \sum_{k=-\infty}^{\infty} |c_k|^2 \end{aligned}$$

7.8 – **Série exponencial de Fourier para sinais discretos**

Já vimos, no capítulo 4 (sobre Sistemas), que um sinal discreto é periódico se

$$x[n] = x[n + N]$$

onde N é o período. Além disso, vimos que

$$N = \text{período fundamental}$$

se N for o menor inteiro para o qual a relação acima satisfaz. E neste caso:

$$\omega_o = \frac{2\pi}{N} = \text{frequência fundamental.}$$

O conjunto de todos os sinais discretos no tempo do tipo exponenciais complexos que são periódicos (com período N) é dado por

$$\phi_k[n] = e^{jk\omega_o n} = e^{jk\left(\frac{2\pi}{N}\right)n}, \quad k = 0, 1, 2, \dots \quad \text{eq. (7.13)}$$

e todos estes sinais têm frequência fundamental que são múltiplas de

$$\frac{2\pi}{N}$$

e portanto são harmonicamente relacionados.

Existem apenas N sinais distintos no conjunto de funções $\phi_k[n]$ definido pela eq. (7.13) acima.

Isto é uma consequência do facto de que sinais discretos no tempo do tipo exponenciais complexas que diferem na frequência por um múltiplo de 2π são idênticos. Ou seja, após N consecutivos, estes termos começam a repetir-se.

$$\begin{aligned} \phi_o[n] &= \phi_N[n] \\ \phi_1[n] &= \phi_{N+1}[n] \\ \phi_2[n] &= \phi_{N+2}[n] \\ &\vdots \\ \phi_k[n] &= \phi_{k+N}[n] \\ &\vdots \end{aligned}$$

Esta situação é diferente do caso contínuo pois os coeficientes que aparecem na equação de síntese da série de Fourier para sinais contínuos:

$$\phi_k(t) = e^{jk\omega_o t} = e^{jk\left(\frac{2\pi}{T}\right)t} \quad k = 0, 1, 2, \dots,$$

são todos diferentes uns dos outros.

Portanto, a série de Fourier para sinais discretos terá apenas N termos, para N consecutivos valores de k ,

$$\text{de } k = \ell \quad \text{até} \quad k = \ell + N - 1.$$

e, semelhantemente, apenas N coeficientes c_k .

Logo, a série de Fourier para sinais discretos tem a expressão:

$$\begin{aligned} x[n] &= \sum_{k=\ell, (\ell+1), \dots}^{(\ell+N-1)} c_k \cdot e^{j k \left(\frac{2\pi}{N}\right) n} = \\ &= \sum_{k=\ell, (\ell+1), \dots}^{(\ell+N-1)} c_k \cdot e^{j k \omega_0 n} \end{aligned} \quad \text{eq. (7.14)}$$

onde, conforme já dito,

N = período fundamental do sinal $x[n]$.

ω_0 = frequência fundamental do sinal $x[n]$.

A equação eq. (7.14) acima é conhecida como a

equação de síntese

da série de Fourier discreta.

Já os coeficientes c_k 's no caso discreto são definidos por

$$\begin{aligned} c_k &= \frac{1}{N} \cdot \sum_{n=\ell, (\ell+1), \dots}^{(\ell+N-1)} x[n] \cdot e^{-j k \omega_0 n} = \\ &= \frac{1}{N} \cdot \sum_{n=\ell, (\ell+1), \dots}^{(\ell+N-1)} x[n] \cdot e^{-j k \left(\frac{2\pi}{N}\right) n} \end{aligned} \quad k = 0, \pm 1, \pm 2, \dots \quad \text{eq. (7.15)}$$

Os c_k 's são chamados de “coeficientes” da série Fourier discreta ou “coeficientes espectrais”.

A equação eq. (7.15) é conhecida como as

“equação de análise”

da série de Fourier discreta.

Exemplo 7.3:

Considere a seguinte onda quadrada $x[n]$ discreta no tempo ilustrada na figura 7.13:

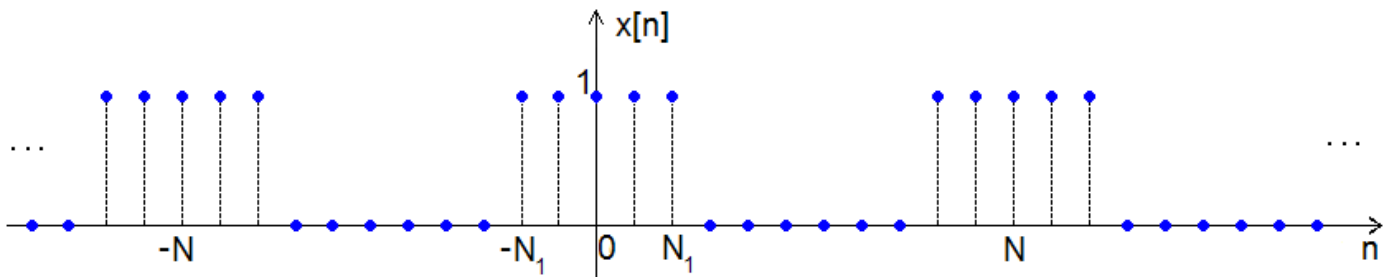


Fig. 7.13 – Onda quadrada discreta de período N . Sinal do Exemplo 7.3.

$$x[n] = \begin{cases} 1, & \text{se } -N_1 \leq n \leq N_1 \\ 0, & \forall \text{ outros } n \text{ no intervalo de soma\c{c}\tilde{o} } \end{cases}$$

Neste caso os coeficientes espectrais c_k ficam:

$$c_k = \frac{1}{N} \cdot \sum_{n=-N_1}^{N_1} e^{-j k \left(\frac{2\pi}{N} \right) n} \quad \text{eq. (7.16)}$$

Se $k = 0, \pm N, \pm 2N, \dots$ o somatório desta expressão de c_k acima fica

$$\sum_{n=-N_1}^{N_1} e^{-j n 2\pi} = \sum_{n=-N_1}^{N_1} 1 = (2N_1 + 1)$$

e portanto, a expressão de c_k da eq. (7.16) acima é facilmente expressa como:

$$c_k = \frac{2N_1 + 1}{N}, \quad k = 0, \pm N, \pm 2N, \dots$$

Entretanto, para $k \neq 0, \pm N, \pm 2N, \dots$ definimos

$$m = n + N_1$$

e então, fazemos uma mudança de índice no somatório, ficando

$$\begin{aligned} c_k &= \frac{1}{N} \cdot \sum_{m=0}^{2N_1} e^{-j k \left(\frac{2\pi}{N} \right) (m-N_1)} = \\ &= \frac{1}{N} e^{-j k \left(\frac{2\pi}{N} \right) N_1} \cdot \sum_{m=0}^{2N_1} e^{-j k \left(\frac{2\pi}{N} \right) m} . \end{aligned}$$

Agora, usando a fórmula da soma finita dos elementos de uma progressão geométrica, já vista no capítulo 6, eq. (6.3):

$$a_1 : a_2 : a_3 : \dots : a_k : \dots$$

$$a_2 = a_1 \cdot q, \quad a_3 = a_2 \cdot q, \quad \dots \quad a_k = a_{k-1} \cdot q, \quad \dots$$

que é dada por:

$$S = \sum_{k=1}^n a_k = \frac{a_1 (1 - q^n)}{(1 - q)}$$

pode-se substituir o somatório da expressão dos c_k acima, uma vez que é uma soma finita de uma progressão geométrica com

$$a_1 = 1, \quad n = (2N_1 + 1) \quad e, \quad q = e^{-j k \left(\frac{2\pi}{N} \right)}$$

obtendo-se:

$$c_k = \frac{1}{N} e^{-j k \left(\frac{2\pi}{N} \right) N_1} \cdot \left[\frac{1 - e^{-j k \left(\frac{2\pi}{N} \right) (2N_1+1)}}{1 - e^{-j k \left(\frac{2\pi}{N} \right)}} \right] \quad \text{para } k \neq 0, \pm N, \pm 2N, \dots$$

que, após multiplicação dos termos, pode facilmente ser expresso como

$$c_k = \frac{1}{N} \cdot \frac{e^{-jk\left(\frac{2\pi}{2N}\right)} \cdot \left[e^{jk\left(\frac{2\pi}{N}\right)\left(N_1 + \frac{1}{2}\right)} - e^{-jk\left(\frac{2\pi}{N}\right)\left(N_1 + \frac{1}{2}\right)} \right]}{e^{-jk\left(\frac{2\pi}{N}\right)} \cdot \left[e^{jk\left(\frac{2\pi}{N}\right)\left(\frac{2\pi}{2N}\right)} - e^{-jk\left(\frac{2\pi}{N}\right)\left(\frac{2\pi}{2N}\right)} \right]}$$

para $k \neq 0, \pm N, \pm 2N, \dots$

e, usando Eüler, obtemos que

$$c_k = \frac{1}{N} \cdot \frac{\text{sen} \left[\frac{2\pi}{N} k \left(N_1 + \frac{1}{2} \right) \right]}{\text{sen} \left(\frac{\pi k}{N} \right)}, \quad \text{para } k \neq 0, \pm N, \pm 2N, \dots$$

Desta forma temos então todos os coeficientes espectrais c_k da onda quadrada discreta deste exemplo.

Resumindo:

$$c_k = \begin{cases} \frac{1}{N} \cdot \frac{\text{sen} \left[\frac{2\pi}{N} k \left(N_1 + \frac{1}{2} \right) \right]}{\text{sen} \left(\frac{\pi k}{N} \right)}, & \text{se } k \neq 0, \pm N, \pm 2N, \dots \\ \frac{2N_1 + 1}{N}, & \text{se } k = 0, \pm N, \pm 2N, \dots \end{cases}$$

Para o caso particular de $N = 9$ e $N_1 = 2$, temos que:

$$(2N_1 + 1) = 5$$

que representa o número de pontos que assumem o valor 1 em cada período e consequentemente,

$$N - (2N_1 + 1) = 9 - 5 = 4$$

representa o número de pontos que é igual a 0 (zero) em cada período.

O gráfico deste $x[n]$ pode ser visto na figura 7.14.

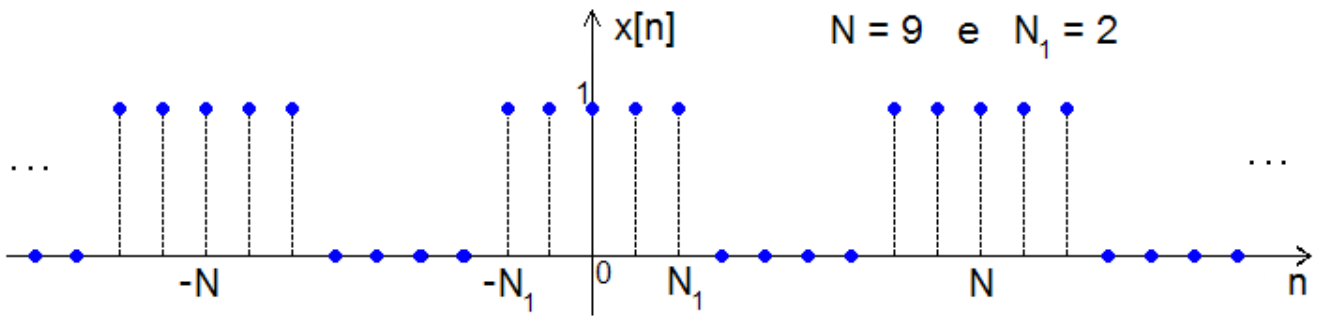


Fig. 7.14 – Sinal onda quadrada discreta. Caso particular $N = 9$ e $N_1 = 2$.

e os coeficientes c_k calculados pela expressão acima são:

\vdots	$c_2 = -0,0591$	$c_9 = 0,5556$
$c_{-4} = 0,0725$	$c_3 = -0,1111$	$c_{10} = 0,3199$
$c_{-3} = -0,1111$	$c_4 = 0,0725$	$c_{11} = -0,0591$
$c_{-2} = -0,0591$	$c_5 = 0,0725$	$c_{12} = -0,1111$
$c_{-1} = 0,3199$	$c_6 = -0,1111$	$c_{13} = 0,0725$
$c_0 = 0,5556$	$c_7 = -0,0591$	$c_{14} = 0,0725$
$c_1 = 0,3199$	$c_8 = 0,3199$	\vdots

Observe que a cada N coeficientes eles se repetem. Isto é, a cada 9 c_k eles voltam a ser os mesmos valores.

$$\begin{aligned}
 &\vdots \\
 &c_{-4} = c_5 = c_{14} = \dots = 0,0725 \\
 &c_{-3} = c_6 = c_{15} = \dots = -0,1111 \\
 &c_{-2} = c_7 = c_{16} = \dots = -0,0591 \\
 &c_{-1} = c_8 = c_{17} = \dots = 0,3199 \\
 &c_0 = c_9 = c_{18} = \dots = 0,5556 \\
 &c_1 = c_{10} = c_{19} = \dots = 0,3199 \\
 &c_2 = c_{11} = c_{20} = \dots = -0,0591 \\
 &\vdots
 \end{aligned}$$

e assim por diante.

Agora, com os valores dos coeficientes c_k , podemos escrever a série de Fourier, eq. (7.14).

Ao contrário do caso contínuo, em que tínhamos que acrescentar mais e mais termos para obter uma aproximação melhor, aqui no caso discreto é possível uma aproximação exacta com $N = 9$ termos consecutivos:

$$x[n] = \sum_{k=\ell, (\ell+1), \dots}^{(\ell+8)} c_k \cdot e^{j k \left(\frac{2\pi}{9} \right) n}$$

Por exemplo, se tomarmos primeiramente apenas 3 termos consecutivos, $k = -1, 0$ e 1 , teremos

$$\hat{x}_3[n] = \sum_{k=-1}^1 c_k \cdot e^{j k \left(\frac{2\pi}{9} \right) n}$$

que nos dá uma primeira aproximação, ainda muito grosseira, do sinal $x[n]$, como pode-se ver no gráfico de $\hat{x}_3[n]$ na figura 7.15 abaixo.

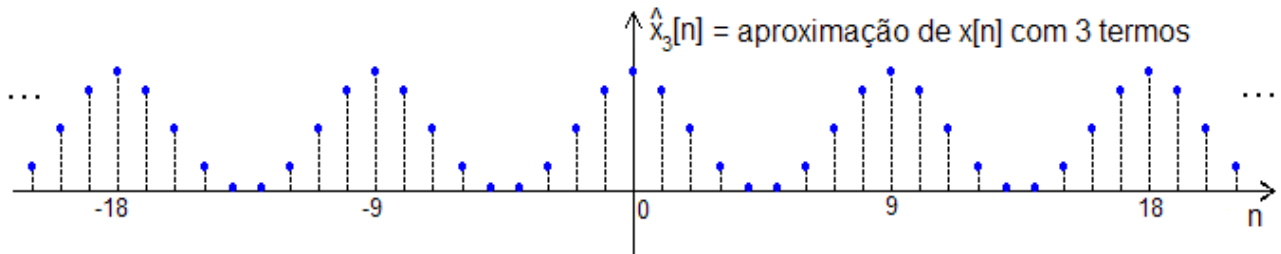


Fig. 7.15 – Sinal onda quadrada discreta. Caso particular $N = 9$ e $N_1 = 2$. Aproximação por série de Fourier com apenas 3 termos.

Se entretanto tomarmos 5 termos consecutivos, $k = -2, -1, 0, 1$ e 2 , teremos então

$$\hat{x}_5[n] = \sum_{k=-2}^2 c_k \cdot e^{j k \left(\frac{2\pi}{9} \right) n}$$

que nos dá uma aproximação um pouco melhor, mas ainda longe de perfeita, do sinal $x[n]$, como pode-se ver no gráfico de $\hat{x}_5[n]$ na figura 7.16 abaixo.

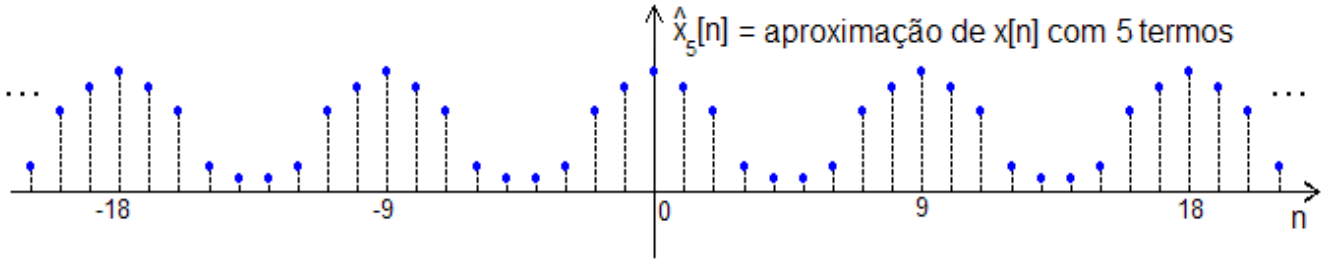


Fig. 7.16 – Sinal onda quadrada discreta. Caso particular $N = 9$ e $N_1 = 2$. Aproximação por série de Fourier com apenas 5 termos.

Se agora tomarmos 7 termos consecutivos, $k = -3, -2, -1, 0, 1, 2$ e 3 , teremos então

$$\hat{x}_7[n] = \sum_{k=-3}^3 c_k \cdot e^{j k \left(\frac{2\pi}{9} \right) n}$$

que já nos dá uma aproximação bem melhor, mas ainda não perfeita, do sinal $x[n]$, como pode-se ver no gráfico de $\hat{x}_7[n]$ na figura 7.17 abaixo.

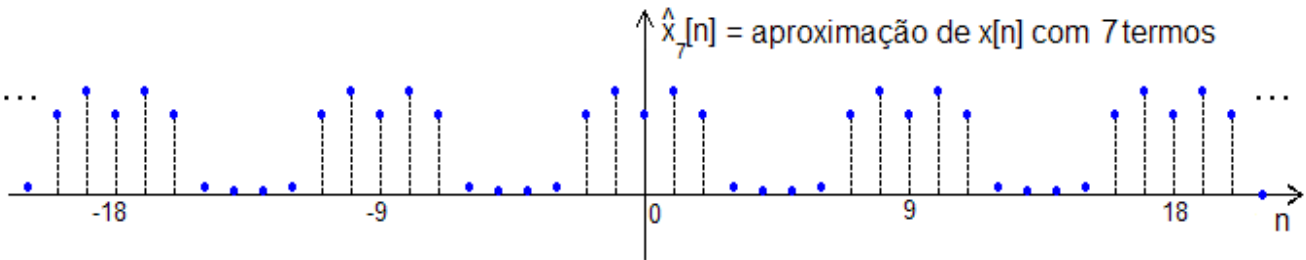


Fig. 7.17 – Sinal onda quadrada discreta. Caso particular $N = 9$ e $N_1 = 2$. Aproximação por série de Fourier com 7 termos.

Finalmente, se agora tomarmos 9 termos consecutivos, $k = -4, -3, -2, -1, 0, 1, 2, 3$ e 4 , teremos então

$$\hat{x}_9[n] = x[n] = \sum_{k=-4}^4 c_k \cdot e^{j k \left(\frac{2\pi}{9} \right) n}$$

que nos dá a aproximação perfeita, ou “exacta” do sinal $x[n]$ pois $N = 9$. Ou seja,

$$\hat{x}_9[n] = x[n]$$

O gráfico de $\hat{x}_9[n]$, que é coincidente com $x[n]$, pode ser visto na figura 7.18 abaixo.

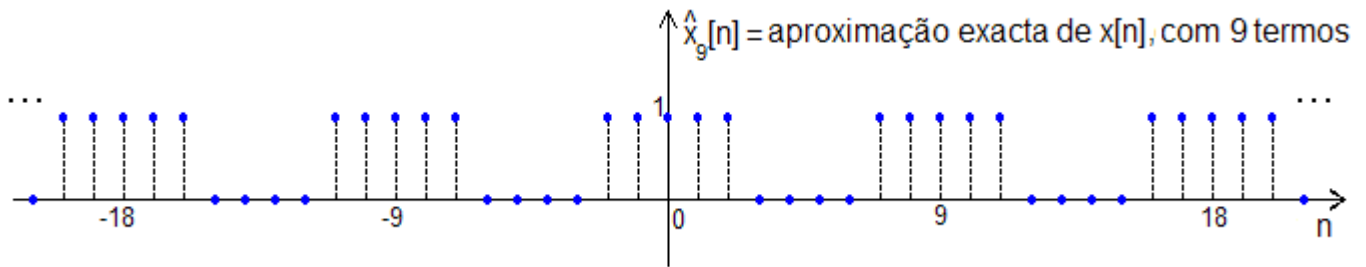


Fig. 7.18 – Sinal onda quadrada discreta. Caso particular $N = 9$ e $N_1 = 2$. Aproximação exacta por série de Fourier com 9 termos.

□

Exemplo 7.4:

Considere agora o sinal sinusoidal discreto

$$x[n] = \text{sen}(\omega_o n)$$

Este sinal é periódico quando:

$$\frac{2\pi}{\omega_o} \text{ é um inteiro ou a razão de inteiros.}$$

Suponha que

$$\frac{2\pi}{\omega_o} = N$$

logo,

$$\omega_o = \frac{2\pi}{N}$$

e $x[n]$ é então um sinal periódico com período fundamental N .

Usando-se a equação de Eüler podemos expandir este sinal $x[n]$ como a soma de 2 termos exponenciais complexas, obtendo-se

$$x[n] = \frac{1}{2j} e^{j\left(\frac{2\pi}{N}\right)n} - \frac{1}{2j} e^{-j\left(\frac{2\pi}{N}\right)n}$$

e vemos então que:

$$\left\{ \begin{array}{l} c_{-1} = \frac{-1}{2j} = \frac{1}{2}j \\ c_1 = \frac{-1}{2j} = \frac{-1}{2}j \\ c_k = 0, \quad \text{para } \forall \text{ outros valores de } k \text{ no intervalo de soma\c{c}{a}{o}.} \end{array} \right.$$

Por exemplo, no caso particular de

$$N = 5$$

então

$$x[n] = \text{sen}\left(\frac{2\pi}{5}n\right)$$

e os coeficientes de Fourier serão:

$$\begin{array}{ll} \vdots & c_7 = 0 \\ c_{-3} = 0 & c_8 = 0 \\ c_{-2} = 0 & c_9 = \frac{-1}{2j} = \frac{1}{2}j \\ c_{-1} = \frac{-1}{2j} = \frac{1}{2}j & c_{10} = 0 \\ c_0 = 0 & c_{11} = \frac{1}{2j} = -\frac{1}{2}j \\ c_1 = \frac{1}{2j} = -\frac{1}{2}j & c_{12} = 0 \\ c_2 = 0 & c_{13} = 0 \\ c_3 = 0 & c_{14} = \frac{-1}{2j} = \frac{1}{2}j \\ c_4 = \frac{-1}{2j} = \frac{1}{2}j & c_{15} = 0 \\ c_5 = 0 & c_{16} = \frac{1}{2j} = -\frac{1}{2}j \\ c_6 = \frac{1}{2j} = -\frac{1}{2}j & \vdots \end{array}$$

e assim por diante.

Ou seja, a cada 5 coeficientes c_k , eles se repetem, i.e., voltam a ter os mesmos valores

$$\begin{array}{ll}
 \vdots & \vdots \\
 c_{-3} = c_2 = c_7 = \dots = 0 & c_0 = c_5 = c_{10} = \dots = 0 \\
 c_{-2} = c_3 = c_8 = \dots = 0 & c_1 = c_6 = c_{11} = \dots = -0,5j \\
 c_{-1} = c_4 = c_9 = \dots = 0,5j & c_2 = c_7 = c_{12} = \dots = 0 \\
 \vdots & \vdots
 \end{array}$$

e assim por diante.

O intervalo de somação pode ser quaisquer 5 coeficientes c_k consecutivos, como por exemplo:

$$\begin{array}{llll}
 \text{de} & k = -1 & \text{até} & k = 3, & \text{ou} \\
 \text{de} & k = 0 & \text{até} & k = 4, & \text{ou} \\
 \text{de} & k = 1 & \text{até} & k = 5, & \text{ou} \\
 \text{de} & k = 2 & \text{até} & k = 7, & \\
 & \text{etc.} & & \text{etc.} &
 \end{array}$$

Se tomarmos apenas 3 termos consecutivos, como por exemplo: $k = 1, 2$ e 3 , teremos

$$\hat{x}_3[n] = \sum_{k=1}^3 c_k \cdot e^{jk\left(\frac{2\pi}{5}\right)n}$$

que nos dá uma aproximação do sinal $x[n]$.

Entretanto, se tomarmos 5 termos consecutivos, como por exemplo: $k = 1, 2, 3, 4$ e 5 , teremos então

$$\hat{x}_5[n] = \sum_{k=1}^5 c_k \cdot e^{jk\left(\frac{2\pi}{5}\right)n}$$

que nos dá a aproximação exacta do sinal $x[n]$ pois $N = 5$. Ou seja,

$$\hat{x}_5[n] = x[n] = \sin\left(\frac{2\pi}{5}n\right).$$

□

Exemplo 7.5:

Considere novamente o sinal sinusoidal discreto

$$x[n] = \text{sen}(\omega_o n)$$

mas agora suponha que

$$\frac{2\pi}{\omega_o} = \frac{N}{M} = \text{razão de 2 inteiros}$$

onde N e M são 2 inteiros que não têm factores comuns.

Logo,

$$\omega_o = \frac{2\pi}{N} \cdot M$$

Novamente $x[n]$ é um sinal periódico e com período fundamental N.

Usando-se a equação de Eüler podemos também expandir este sinal $x[n]$ como a soma de 2 termos exponenciais complexas, obtendo-se:

$$x[n] = \frac{1}{2j} e^{j M \left(\frac{2\pi}{N}\right) n} - \frac{1}{2j} e^{-j M \left(\frac{2\pi}{N}\right) n}$$

e portanto,

$$\begin{cases} c_{-M} = -\frac{1}{2j} = \frac{1}{2} \cdot j \\ c_M = \frac{1}{2j} = \frac{-1}{2} \cdot j \end{cases}$$

Além disso, como $c_{k+N} = c_{k-N}$ (os c_k 's se repetem a cada N), então:

$$c_{N-M} = c_{-(N+M)} = \frac{1}{2} \cdot j \quad (= c_{-M} \text{ também})$$

e

$$c_{N+M} = c_{-N+M} = \frac{-1}{2} \cdot j \quad (= c_M \text{ também})$$

Entretanto,

$$c_k = 0, \quad \text{para } \forall \text{ outros valores de } k \text{ no intervalo de somação.}$$

□

Exemplo 7.6:

Neste exemplo anterior (Exemplo 7.5), se tomarmos o caso particular de

$$N = 5 \quad \text{e} \quad M = 3,$$

então

$$x[n] = \sin\left(3 \cdot \frac{2\pi}{5} n\right) = \sin\left(\frac{6\pi}{5} n\right) = \sin(1,2 \cdot \pi \cdot n)$$

e os coeficientes de Fourier serão:

$$\begin{array}{ccc} \vdots & & \\ c_{-9} = 0 & c_1 = 0 & c_{11} = 0 \\ c_{-8} = \frac{1}{2} j & c_2 = \frac{1}{2} j & c_{12} = \frac{1}{2} j \\ c_{-7} = -\frac{1}{2} j & c_3 = -\frac{1}{2} j & c_{13} = -\frac{1}{2} j \\ c_{-6} = 0 & c_4 = 0 & c_{14} = 0 \\ c_{-5} = 0 & c_5 = 0 & c_{15} = 0 \\ c_{-4} = 0 & c_6 = 0 & c_{16} = 0 \\ c_{-3} = \frac{1}{2} j & c_7 = \frac{1}{2} j & c_{17} = \frac{1}{2} j \\ c_{-2} = -\frac{1}{2} j & c_8 = -\frac{1}{2} j & c_{18} = -\frac{1}{2} j \\ c_{-1} = 0 & c_9 = 0 & c_{19} = 0 \\ c_0 = 0 & c_{10} = 0 & c_{20} = 0 \\ & & \vdots \end{array}$$

e assim por diante.

Ou seja, a cada 5 coeficientes c_k , eles se repetem, i.e., voltam a ter os mesmos valores

$$\begin{array}{ccc}
\vdots & & \vdots \\
c_{-9} = c_{-4} = c_1 = c_6 = \dots = 0 & & c_{-6} = c_{-1} = c_4 = c_9 = \dots = 0 \\
c_{-8} = c_{-3} = c_2 = c_7 = \dots = 0,5j & & c_{-5} = c_0 = c_5 = c_{10} = \dots = 0 \\
c_{-7} = c_{-2} = c_3 = c_8 = \dots = -0,5j & & c_{-4} = c_1 = c_6 = c_{11} = \dots = 0 \\
\vdots & & \vdots
\end{array}$$

e assim por diante.

O intervalo de somação novamente pode ser quaisquer 5 coeficientes c_k consecutivos, como por exemplo:

$$\begin{array}{llll}
\text{de} & k = -1 & \text{até} & k = 3, \quad \text{ou} \\
\text{de} & k = 0 & \text{até} & k = 4, \quad \text{ou} \\
\text{de} & k = 1 & \text{até} & k = 5, \\
& \text{etc.} & & \text{etc.}
\end{array}$$

Se tomarmos apenas 1, ou 2, ou 3, ou 4 termos consecutivos, teremos uma aproximação do sinal $x[n]$. Por exemplo: $k = 1, 2$ e 3 ,

$$\hat{x}_3[n] = \sum_{k=1}^3 c_k \cdot e^{j k \left(\frac{6\pi}{5} \right) n}$$

Entretanto, se tomarmos 5 termos consecutivos, como por exemplo: $k = 1, 2, 3, 4$ e 5 , teremos então

$$\hat{x}_5[n] = \sum_{k=1}^5 c_k \cdot e^{j k \left(\frac{6\pi}{5} \right) n}$$

que nos dá a aproximação exacta do sinal $x[n]$ pois $N = 5$. Ou seja,

$$\hat{x}_5[n] = x[n] = \sin\left(\frac{6\pi}{5} n\right)$$

□

Exemplo 7.7:

Novamente considerando o Exemplo 7.5, se tomarmos o caso particular de

$$N = 7 \quad \text{e} \quad M = 3,$$

então

$$x[n] = \sin\left(3 \cdot \frac{2\pi}{7} n\right) = \sin\left(\frac{6\pi}{7} n\right) = \sin(0,8571 \cdot \pi \cdot n) = \sin(2,6928 \cdot n)$$

e os coeficientes de Fourier serão:

$$\begin{array}{lll} \vdots & & \\ c_{-3} = \frac{1}{2}j & c_4 = \frac{1}{2}j & c_{11} = -\frac{1}{2}j \\ c_{-2} = 0 & c_5 = 0 & c_{12} = 0 \\ c_{-1} = 0 & c_6 = 0 & c_{13} = 0 \\ c_0 = 0 & c_7 = 0 & c_{14} = 0 \\ c_1 = 0 & c_8 = 0 & c_{15} = 0 \\ c_2 = 0 & c_9 = 0 & c_{16} = 0 \\ c_3 = -\frac{1}{2}j & c_{10} = -\frac{1}{2}j & c_{17} = -\frac{1}{2}j \\ & & \vdots \end{array}$$

e assim por diante.

Ou seja, a cada 7 coeficientes c_k , eles se repetem, i.e., voltam a ter os mesmos valores

$$\begin{array}{ll} \vdots & \vdots \\ c_{-3} = c_4 = c_{11} = 0,5j = \dots & c_0 = c_7 = c_{14} = \dots 0 \\ c_{-2} = c_5 = c_{12} = 0 = \dots & c_1 = c_8 = c_{15} = \dots 0 \\ c_{-1} = c_6 = c_{13} = 0 = \dots & c_2 = c_9 = c_{16} = \dots 0 \\ c_0 = c_7 = c_{14} = 0 = \dots & c_3 = c_{10} = c_{17} = \dots -0,5j \\ \vdots & \vdots \end{array}$$

e assim por diante.

O intervalo de somação agora pode ser quaisquer 7 coeficientes c_k consecutivos, como por exemplo:

$$\begin{array}{llll} \text{de} & k = -1 & \text{até} & k = 5, & \text{ou} \\ \text{de} & k = 0 & \text{até} & k = 6, & \text{ou} \\ \text{de} & k = 1 & \text{até} & k = 7, & \\ & \text{etc.} & & \text{etc.} & \end{array}$$

Se tomarmos apenas 1, ou 2, ou 3, ou 4 termos consecutivos, teremos uma aproximação do sinal $x[n]$. Por exemplo: $k = 1, 2, 3, 4$ e 5,

$$\hat{x}_5[n] = \sum_{k=1}^5 c_k \cdot e^{jk \left(\frac{6\pi}{7} \right) n}$$

Entretanto, se tomarmos 7 termos consecutivos, como por exemplo:

$$k = 1, 2, 3, 4, 5, 6 \text{ e } 7,$$

teremos então

$$\hat{x}_7[n] = \sum_{k=1}^7 c_k \cdot e^{jk \left(\frac{6\pi}{7} \right) n}$$

que nos dá a aproximação exacta do sinal $x[n]$ pois $N = 7$. Ou seja,

$$\hat{x}_7[n] = x[n] = \sin\left(\frac{6\pi}{7} n\right).$$

□

7.9 – Propriedades da Série de Fourier para sinais discretos

● Linearidade:

Suponha que

$x_1[n]$ é um sinal com período N e tem coeficientes de Fourier c'_k

$x_2[n]$ é um sinal com período N e tem coeficientes de Fourier c''_k

e que

$$y[n] = \alpha x_1[n] + \beta x_2[n]$$

então, mostra-se que:

$$y[n] \text{ tem período } N,$$

ou seja,

$$y[n] \text{ tem frequência fundamental } \omega_o = \frac{2\pi}{N},$$

e coeficientes de Fourier

$$c_k = \alpha c'_k + \beta c''_k$$

● Translação no tempo (“*time shifting*”):

Suponha que

$x[n]$ é um sinal com período N e tem coeficientes de Fourier c_k

e que

$$y[n] = x[n - n_o]$$

ou seja, $y[n]$ é o sinal $x[n]$ com uma translação (*shift*) no tempo de n_o .

Então, mostra-se que:

$$y[n] \text{ tem período } N,$$

ou seja,

$$y[n] \text{ tem frequência fundamental } \omega_o = \frac{2\pi}{N},$$

e coeficientes de Fourier

$$\begin{aligned} \tilde{c}_k &= e^{-jk\omega_o n_o} c_k = \\ &= e^{-jk\left(\frac{2\pi}{N}\right)n_o} c_k \end{aligned}$$

Nota:

Como $\left| e^{j\theta} \right| = 1, \quad \forall \theta$, tem-se que

$$\left| \tilde{c}_k \right| = \left| c_k \right|$$

● **Sinal refletido / reversão no tempo** (“*time reversal*”) em torno de $n = 0$:

Suponha que

$x[n]$ é um sinal com período N e tem coeficientes de Fourier c_k

e que

$$y[n] = x[-n]$$

então, mostra-se que:

$y[n]$ tem período N ,

ou seja,

$$y[n] \text{ tem frequência fundamental } \omega_0 = \frac{2\pi}{N},$$

e coeficientes de Fourier

$$\hat{c}_k = c_{-k}$$

Nota:

Como consequência desta propriedade pode-se concluir, (*semelhantemente ao caso contínuo*), que:

Se $x[n]$ é um *sinal par* \Rightarrow os coeficientes de Fourier c_k são, eles próprios, *pares*; i.e.,

$$c_k = c_{-k}$$

Se $x[n]$ é um *sinal ímpar* \Rightarrow os coeficientes de Fourier c_k são eles próprios, *ímpares*; i.e.,

$$c_k = -c_{-k}.$$

● **Escalonamento no tempo** (“*time scaling*”):

Suponha que

$x[n]$ é um sinal com período N e tem coeficientes de Fourier c_k

(portanto $x[n]$ tem frequência fundamental $\omega_0 = \frac{2\pi}{N}$)

e que

$$y[n] = \begin{cases} x\left[\frac{n}{m}\right], & \text{se } n \text{ é múltiplo de } m \\ 0, & \text{se } n \text{ não é múltiplo de } m \end{cases}$$

então, mostra-se que:

$$y[n] \text{ tem período } m \cdot N,$$

ou seja,

$$y[n] \text{ tem frequência fundamental } \frac{\omega_0}{m} = \frac{2\pi}{m \cdot N}, \text{ e além disso,}$$

$$\begin{aligned} y[n] &= \sum_{k=\ell, (\ell+1), \dots}^{(\ell+N-1)} c_k \cdot e^{-jk \left(\frac{\omega_0}{m} \right) n} = \\ &= \sum_{k=\ell, (\ell+1), \dots}^{(\ell+N-1)} c_k \cdot e^{-jk \left(\frac{2\pi}{m \cdot N} \right) n} \end{aligned}$$

Note que a série de Fourier muda por causa da mudança da frequência fundamental (e do período). Entretanto os coeficientes c_k não mudam.

● **Multiplicação:**

Suponha que

$x_1[n]$ é um sinal com período N e tem coeficientes de Fourier c'_k

$x_2[n]$ é um sinal com período N e tem coeficientes de Fourier c''_k

e que

$$y[n] = x_1[n] \cdot x_2[n]$$

então, mostra-se que:

$$y[n] \text{ tem período } N, \text{ ou seja tem frequência fundamental } \omega_0 = \frac{2\pi}{N},$$

e coeficientes de Fourier

$$c_k = \sum_{j=\ell, (\ell+1), \dots}^{(\ell+N-1)} c'_j \cdot c''_{k-j} \quad k = 0, \pm 1, \pm 2, \dots$$

Ou seja,

$$\begin{aligned} c_k &= \sum_{j=\ell, (\ell+1), \dots}^{(\ell+N-1)} c'_j \cdot c''_{k-j} = \\ &= c'_0 \cdot c''_k + c'_1 \cdot c''_{k-1} + c'_2 \cdot c''_{k-2} + \dots + c'_{N-1} \cdot c''_{(k-N+1)} \\ &= c'_1 \cdot c''_{k-1} + c'_2 \cdot c''_{k-2} + c'_3 \cdot c''_{k-3} + \dots + c'_N \cdot c''_{(k-N)} \\ &\quad \vdots \quad \quad \quad \vdots \quad \quad \quad \vdots \quad \quad \quad \vdots \\ &\quad \text{etc} \quad \quad \quad \text{etc} \quad \quad \quad \text{etc} \quad \quad \quad \text{etc} \end{aligned}$$

● Conjugação:

Suponha que

$x[n]$ é um sinal com período N e tem coeficientes de Fourier c_k

e que

$$y[n] = x^*[n]$$

$y[n]$ é o conjugado de $x[n]$; então, mostra-se que:

$y[n]$ tem período N , ou seja tem frequência fundamental $\omega_0 = \frac{2\pi}{N}$,

e coeficientes de Fourier

$$\bar{c}_k = c_{-k}^*$$

Nota:

Como consequência desta propriedade pode-se concluir que:

Se $x[n] \in \mathbb{R}$, então

os coeficientes de Fourier $c_{-k} = c_k^*$;

$$c_0 \in \mathbb{R};$$

e

$$|c_k| = |c_{-k}|.$$

Além disso, as relações acima permitem ***mais uma vez*** concluir que:

Se $x[n] \in \mathbb{R}$ é um sinal par \Rightarrow

os coeficientes de Fourier $c_k = c_k^*$; e

$c_k = c_{-k}$ (os *coeficientes de Fourier* são eles próprios “***pares***”).

Se $x[n] \in \mathbb{R}$ é um sinal ímpar \Rightarrow

os coeficientes de Fourier c_k são imaginários puros, $c_0 = 0$ e

$c_k = -c_{-k}$ (os *coeficientes de Fourier* são eles próprios “***ímpares***”).

● **Translação na frequência (“frequency shifting”)**:

Suponha que

$x[n]$ é um sinal com período N e tem coeficientes de Fourier c_k

e, para um m inteiro, constante, considere agora os coeficientes

$$\bar{c}_k = c_{k-m} \quad k = 0, \pm 1, \pm 2, \dots$$

ou seja,

\bar{c}_k são os coeficientes c_k desfasados de m .

Então, mostra-se que o sinal:

$$y[n] = e^{j m \omega_0 n} \cdot x[n]$$

tem os coeficientes de Fourier \bar{c}_k

Nota:

Esta propriedade é dual da translação no tempo (*time shifting*). Agora a translação (*shift*) foi aplicada aos c_k e não no tempo t .

Como $\left| e^{j\theta} \right| = 1, \quad \forall \theta$, então

$$\left| \bar{c}_k \right| = \left| c_k \right|$$

● Convolução no período:

Suponha que

$x_1[n]$ é um sinal com período N e tem coeficientes de Fourier c'_k

$x_2[n]$ é um sinal com período N e tem coeficientes de Fourier c''_k

e que $y[n]$ é a convolução (tomada no período N):

$$\begin{aligned} y[n] &= x_1[n] * x_2[n] = \\ &= \sum_{k=\ell, (\ell+1), \dots}^{(\ell+N-1)} x_1[n-k] \cdot x_2[k] \end{aligned}$$

Então, mostra-se que:

$$y[n] \text{ tem período } N, \text{ ou seja tem frequência fundamental } \omega_o = \frac{2\pi}{N},$$

e coeficientes de Fourier

$$\tilde{c}_k = N \cdot c'_k \cdot c''_k$$

● Primeira diferença:

Suponha que

$x[n]$ é um sinal com período N e tem coeficientes de Fourier c_k

e que

$$y[n] = x[n] - x[n-1]$$

então, mostra-se que:

$y[n]$ tem período N , ou seja tem frequência fundamental $\omega_o = \frac{2\pi}{N}$,

e coeficientes de Fourier

$$c'_k = (1 - e^{jk\omega_o}) \cdot c_k = \left(1 - e^{jk\left(\frac{2\pi}{N}\right)}\right) \cdot c_k$$

Nota:

Esta propriedade corresponde, no caso discreto, à propriedade para a “derivada” no caso contínuo.

Para o caso de diferenças de ordem 2 ou maior, pode-se aplicar esta regra sucessivas vezes. Por exemplo, no caso da segunda diferença, se

$$y[n] = x[n] - x[n-2]$$

os coeficientes de Fourier de $y(t)$ são

$$c''_k = (1 - e^{jk\omega_o})^2 \cdot c_k = \left(1 - e^{jk\left(\frac{2\pi}{N}\right)}\right)^2 \cdot c_k.$$

● **Soma acumulada:**

Suponha que

$x[n]$ é um sinal com período N e tem coeficientes de Fourier c_k

e que

$$y(t) = \sum_{k=-\infty}^n x[k]$$

então, mostra-se que:

$y[n]$ tem período T , ou seja tem frequência fundamental $\omega_o = \frac{2\pi}{N}$,

e coeficientes de Fourier

$$\tilde{c}_k = \frac{1}{(1 - e^{jk\omega_o})} \cdot c_k = \frac{1}{\left(1 - e^{jk\left(\frac{2\pi}{N}\right)}\right)} \cdot c_k$$

Nota:

No caso de $c_0 = 0$, esta propriedade só é válida para sinais $x[n]$ periódicos e com valores finitos.

Esta propriedade corresponde, no caso discreto, à propriedade para a integral no caso contínuo.

Para o caso de integrais duplas, triplas, etc., pode-se aplicar esta regra sucessivas vezes.

● Relação de Parseval:

Suponha que

$x[n]$ é um sinal com período N e tem coeficientes de Fourier c_k

então, mostra-se que a potência média do sinal no intervalo de um período N :

$$\begin{aligned} P &= \frac{1}{N} \cdot \sum_{n=\ell, (\ell+1), \dots}^{(\ell+N-1)} |x^2[n]| = \\ &= \sum_{k=\ell, (\ell+1), \dots}^{(\ell+N-1)} |c_k|^2 \end{aligned}$$